

ОШГ. Максимумы МРО имеют место при совпадении расстояния между уровнями Ландау и уровнями размерного квантования.

Физическая причина аномальной температурной зависимости амплитуды МРО состоит в следующем. Скорость температурного затухания квантовых осцилляций определяется частотой осцилляций плотности состояний в магнитном поле как функции энергии. С ростом температуры среднее значение осциллирующей части плотности состояний на интервале температурного размытия уровня Ферми резко падает, а амплитуда ОШГ экспоненциально убывает. ОШГ связаны с переходами электронов из (в) особенности плотности состояний, т. е. ОШГ определяются наложением монотонной и осциллирующей составляющих плотности состояний. Частота осцилляций последней велика, и ОШГ быстро затухают с ростом температуры. В отличие от ОШГ МРО связаны с переходами электронов между особенностями плотности состояний, т. е. определяются наложением осциллирующих частей плотности состояний различных размерных подзон. Осцилляции плотности состояний от разных подзон гасят друг друга, и скорость температурного затухания амплитуды МРО резко падает.

В заключение заметим, что попытки определения эффективной массы из температурной зависимости амплитуды квантовых осцилляций в инверсионных слоях на кремнии приводят к противоречиям [4, 5]. Результаты настоящей работы позволяют связать аномальное поведение температурной зависимости амплитуды квантовых осцилляций с заполнением второй подзоны размерного квантования и соответственно с проявлением МРО в указанных экспериментах.

Л и т е р а т у р а

- [1] Ando T., Fowler A. B., Stern F. — Rev. Mod. Phys., 1982, v. 54, N 2, p. 437—672; Андо Т., Фаулер А., Стерн Ф. Электронные свойства двумерных систем. М., 1985. 416 с.
- [2] Романов А. А., Магарилл Л. И., Сардарян В. С. — ФТП, 1970, т. 4, в. 7, с. 1262—1266.
- [3] Магарилл Л. И., Романов А. А. — ФТТ, 1971, т. 13, в. 4, с. 993—996.
- [4] Fang F. F., Fowler A. B., Hartstein A. — Phys. Rev. (B), 1977, v. 16, N 10, p. 4446—4454.
- [5] Fang F. F., Fowler A. B., Hartstein A. — Surf. Sci., 1978, v. 73, p. 269—271.

Запорожский машиностроительный институт
им. В. Я. Чубаря

Получено 12.02.1988
Принято к печати 26.07.1988

ФТП, том 22, вып. 12, 1988

ИССЛЕДОВАНИЯ

ЭКСИТОННОЙ ЛЮМИНЕСЦЕНЦИИ СВЕРХРЕШЕТОК GaAs—GaAlAs С ПИКОСЕКУНДНЫМ ВРЕМЕННЫМ РАЗРЕШЕНИЕМ

Вайнерт Х., Латинис В., Юршенас С., Балтрамеюнас Р.

В настоящее время широко исследуется динамика квазидвумерных фотовоизбужденных носителей заряда в полупроводниковых сверхрешетках (СР). Известно, что при низких температурах и в случае малых уровней фотовоизбуждения оптические свойства нелегированных GaAs—GaAlAs СР определяются рекомбинацией свободных экситонов (см., например, [1]). В некоторых исследованиях наряду с изучением процессов релаксации энергии фотовоизбужденных носителей, их термализации и эффектов горячей люминесценции [2, 3] значительное внимание уделяется экранированию квазидвумерных экситонов электрон-дырочной плазмой (ЭДП) высокой плотности [4, 5] и эффектам самоэкранирования [6]. Причем в данных работах эксперименты проводились преимущественно методами абсорбционной спектроскопии с разрешением во времени.

В данной работе на основе анализа спектрально-временных характеристик люминесценции СР GaAs—GaAlAs при разных уровнях фотовоизбуждения про-

ведено детальное исследование свойств экситонного газа в квазидвумерной структуре в условиях, когда плотность квазичастиц близка к порогу диэлектрического экранирования.

Экспериментально исследовался образец, выращенный по технологии молекулярно-лучевой эпитаксии на подложке GaAs. СР состоит из 100 периодов,

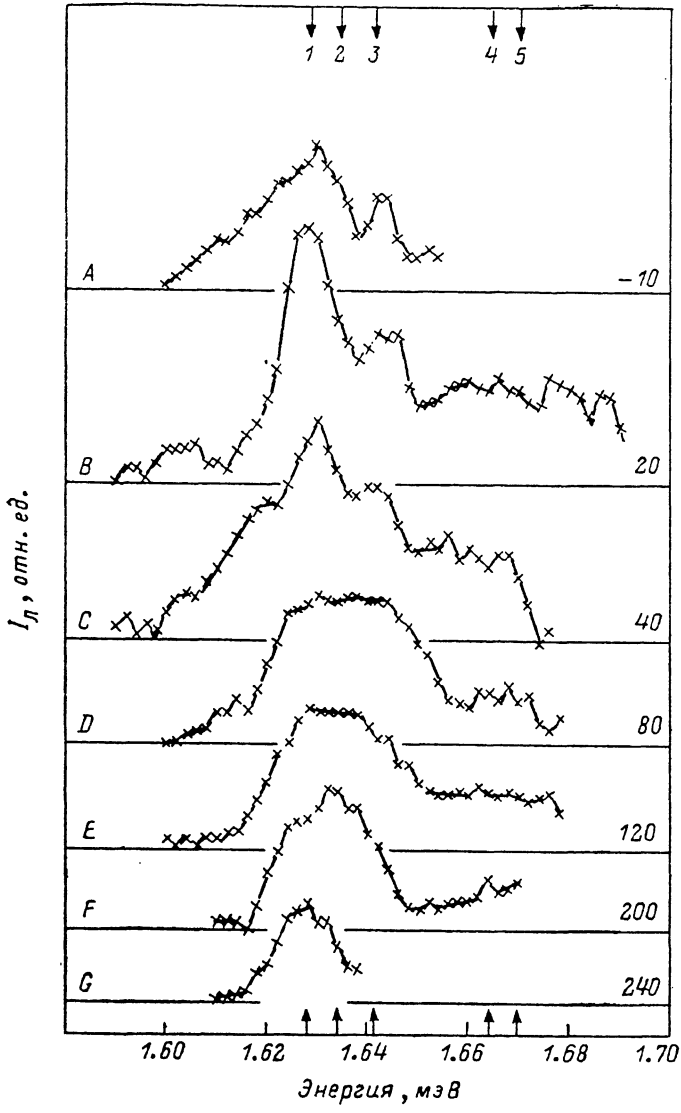


Рис. 1. Спектрально-временные зависимости люминесценции сверхрешетки GaAs—GaAlAs при плотности мощности возбуждения $5 \text{ MWt}/\text{cm}^2$.

Справа — Время (в пс) относительно момента возбуждения. Стрелками обозначено: 1 — энергетическое положение пика люминесценции $n=1ehh$ (электрон—тяжелая дырка) экситона при слабом возбуждении, 2 — позиция пика аборбции $n=1ehh$ экситона, 3 — позиция первого возбужденного состояния $n=2ehh$ экситона, 4 — позиция пика аборбции $n=1elh$ (электрон—легкая дырка) экситона, 5 — позиция первого возбужденного состояния $n=2elh$ экситона.

где GaAs квантовые ямы ($d_W = 5.088 \text{ нм}$) разделены барьерами из $\text{Ga}_{0.59}\text{Al}_{0.41}\text{As}$ толщиной $d_B = 5.093 \text{ нм}$. Параметры образца d_W , d_B и содержание Al были определены рентгеновскими методами. Спектры люминесценции этого образца при слабом лазерном возбуждении, а также исследования спектроскопией возбуждения показали, что для $n=1ehh$ (электрон—тяжелая дырка) экситона наблюдается «стоково» смещение величиной $3 \div 4 \text{ мэВ}$ между пиками возбуждения и люминесценции, что свидетельствует о хорошем качестве образца и о локализации экситонов на флуктуациях толщины.

Эксперимент проводился при температуре образца 4.2 К на пикосекундном люминесцентном спектрометре [7]. Вторая гармоника излучения пикосекундного лазера на АИГ : Nd³⁺ ($h\nu=2.33$ эВ, длительность импульса 30 пс) была

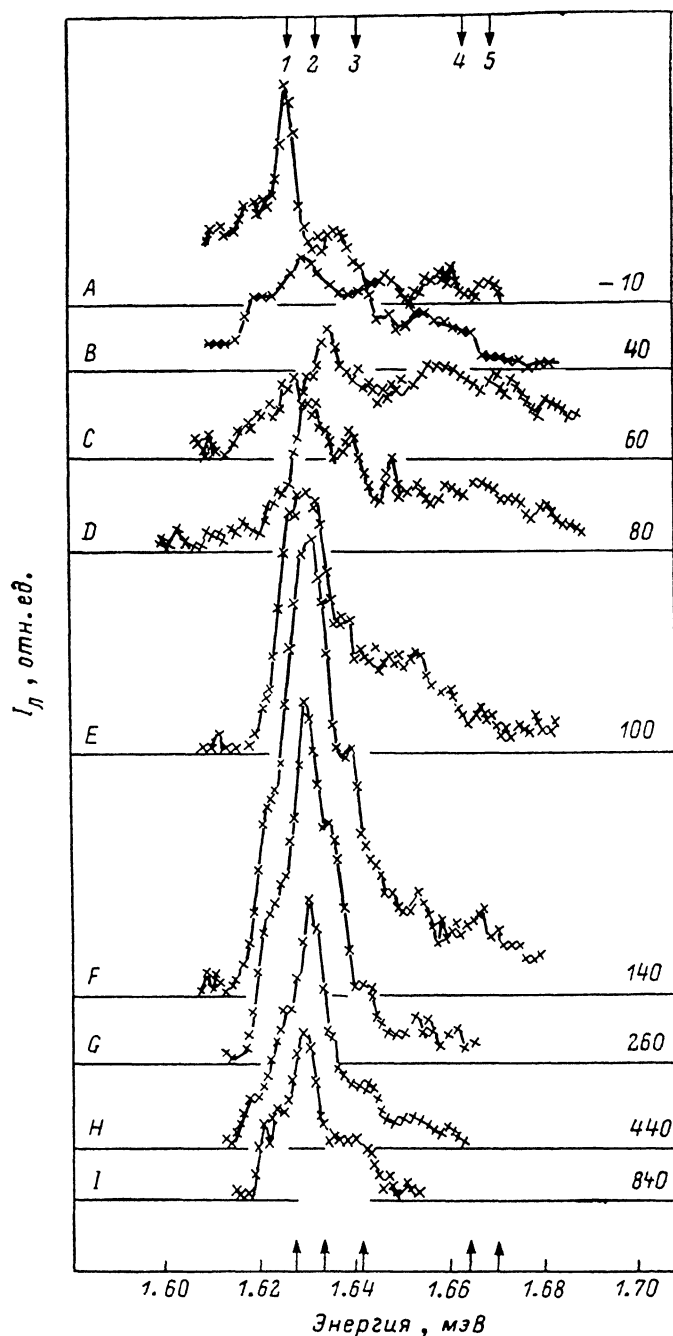


Рис. 2. Спектрально-временные зависимости люминесценции сверхрешетки GaAs—GaAlAs при плотности мощности возбуждения 0.5 МВт/см².

Обозначения те же, что и на рис. 1.

использована для возбуждения, т. е. однофотонно возбуждались одновременно квантовые ямы и барьеры СР. Спектры люминесценции регистрировались при помощи решеточного монохроматора, фотоумножителя и электронной системы сбора и первичной обработки данных. Управление экспериментом и дальнейшая обработка результатов осуществлялись при помощи микрокомпьютера ДВК-2М.

Для устранения влияния нестабильности лазера применялась численная селекция импульсов возбуждения по амплитуде в интервале $I_b = I_b \pm 10\%$. Для каждой спектральной точки сигнал накапливался из 30 импульсов, следующих с частотой 2 Гц.

На рис. 1 представлена спектрохронограмма люминесценции СР при плотности мощности возбуждения $I_b = 5 \text{ МВт/см}^2$. В течение первых 20 пс спектр определялся хорошо различимой рекомбинацией экситонов в состоянии $n=1ehh$, причем не наблюдалось «хвоста» люминесценции ЭДП. В интервале времени от 20 до 80 пс экситонные линии расширялись и в спектре излучения (D) ($t=80$ пс) преобладала широкая полоса люминесценции, сосредоточенная в энергетическом интервале рекомбинационных переходов $n=1ehh$ экситонов. Характерно, что в интервале времени от 80 до 120 пс после возбуждения не наблюдалось отдельных острых пиков и фона излучения ЭДП. Это означает, что в данном случае плотность экситонов достигла максимального значения и индивидуальные экситоны почти полностью экранированы окружающим экситонным газом. С течением времени (рис. 1, спектр F , $t=200$ пс) интенсивность и полуширина этой широкой линии уменьшались, т. е. плотность экситонов падала. Наконец, при $t=240$ пс (спектр G) была хорошо различима линия $n=1ehh$ экситона с той же самой энергией максимума, что и в случае слабого непрерывного возбуждения.

На рис. 2 представлены результаты исследования спектров люминесценции СР при плотности мощности возбуждения $I_b = 0.5 \text{ МВт/см}^2$. В этом случае хорошо различимая в начальный момент возбуждения линия $n=1ehh$ экситона впоследствии расширялась, а ее пикивая интенсивность падала (спектр C , $t=80$ пс). С течением времени эта линия сужалась и расщеплялась на две отдельные линии, видимо, связанные с основным и возбужденным состояниями экситона. В дальнейшем происходил рост пикивой и спектрально интегрированной интенсивности излучения на линии основного состояния экситона, достигавшей максимального значения $t=140$ пс. После этого интенсивность люминесценции уменьшалась почти экспоненциально со временем, а позиция пика смешалась в начальное положение. Определенное по экспоненциальному спаду значение времени жизни $n=1ehh$ экситона составляло $\tau = 700 \pm 100$ пс.

Анализируя полученные результаты, можно предположить, что в начальной после возбуждения стадии излучения преобладает люминесценция локализованных на флуктуациях толщины слоев экситонов. Это означает, что процессы захвата экситонов в область с увеличенной толщиной квантовых ям происходят моментально в пикосекундной шкале времени. Смещение положения пика люминесценции в положение пика абсорбции с возрастанием плотности экситонов свидетельствует о насыщении локализованных состояний экситонов.

Интересным экспериментальным результатом является факт наблюдаемого уменьшения интенсивности экситонной люминесценции при увеличении уровня возбуждения до 10 МВт/см^2 и более. Наряду с увеличением интенсивности направленного стимулированного излучения вдоль поверхности образца, не попадающего в систему регистрации, это также указывает на существование быстрых и эффективных каналов безызлучательной рекомбинации (например оже-рекомбинации), что приводит к быстрому спаду плотности ЭДП. Значение плотности ЭДП в двумерном случае, определенное из наблюдаемойrenomализации ширины запрещенной зоны 30 мэВ [8], здесь составляет $n_{2D} = 4.4 \cdot 10^{11} \text{ см}^{-2}$ (или $9.7 \cdot 10^{17} \text{ см}^{-3}$), что близко к критическому значению $n_c = 2 \cdot 10^{12} \text{ см}^{-2}$ для существенной оже-рекомбинации, предполагаемому в [9] из соображений размерности.

Зависимость скорости возрастания интенсивности люминесценции $n=1ehh$ экситона в течение первых десятков пикосекунд от уровня фотовозбуждения может быть вызвана переносом носителей из возбужденных барьеров в квантовые ямы. Этот процесс, видимо, более вероятен, чем замедленный перенос носителей из X - или L -долин, ибо известно [10], что носители заряда, возбужденные в высшие уровни, не захватываются моментально (в пикосекундной шкале времени) в квантовые ямы. Нужно отметить, что задержка во времени между максимумом возбуждения и максимумом интенсивности люминесценции $n=1ehh$ экситона уменьшается с ростом возбуждения. Это может служить указанием

на то, что диффузия носителей из барьеров в квантовые ямы усиливается с увеличением плотности носителей.

В заключение проведены исследования кинетики фотолюминесценции СР GaAs—GaAlAs в пикосекундной шкале времени при плотности фотовозбужденных квазичастиц вблизи порога перехода Мотта. Показано, что наряду с экранированием квазидвумерных экситонов электронно-дырочной плазмой при ее плотности $n_{2D} \geq 4.4 \cdot 10^{11} \text{ см}^{-2}$ возможно и самоэкранирование в газе экситонов при несколько меньших скоростях генерации неравновесных квазичастиц.

Авторы выражают признательность Д. Хулин, И.-Л. Оудару за обсуждение результатов и Х.-Г. Брюлю за рентгеноскопические исследования образца.

Л и т е р а т у р а

- [1] Göbel E. O., Kuhl J., Höger R. J. — Luminesz., 1985, v. 30, p. 541—550.
- [2] Ryan J. F. — Physica, 1984, v. 127B, N 3, p. 343—348.
- [3] Das Sarma S., Mason B. A. — Phys. Rev. B, 1986, v. 33, N 2, p. 1418—1419.
- [4] Shank C. V., Fork R. L., Yen R., Shah J., Greene B. I., Gossard A. C., Weisbuch C. — Sol. St. Commun., 1983, v. 47, N 12, p. 981—983.
- [5] Knox W. H., Hirlimann C., Miller D. A. B., Shah J., Chemla D. S., Shank C. V. — Phys. Rev. Lett., 1986, v. 56, N 11, p. 1191—1193.
- [6] Hulin D., Mysyrowicz A., Antonetti A., Migus A., Masselink W. T., Morkoc H., Gibbs H. M., Peyghambarian N. — Phys. Rev. B, 1986, v. 33, N 6, p. 4389—4391.
- [7] Юршенац С., Латинис В., Степанкявичюс В. — Лит. физ. сб., 1988, т. 27, № 1.
- [8] Schmitt-Rink S., Ell C., Koch S. W., Schmidt H. E., Haugh H. — Sol. St. Commun., 1984, v. 52, N 2, p. 123—125.
- [9] Landsberg P. T., Adams M. J. — IEE Proc., 1986, v. 133, p. 118.
- [10] Nakamura A., Fujiwara K., Tokuda Y., Nakayama T., Hirai M. — Phys. Rev. B, 1986, v. 34, p. 9019.

Вильнюсский государственный университет
им. В. Каунаса

Получено 7.05.1988
Принято к печати 26.07.1988

ФТП, том 22, вып. 12, 1988

ВЛИЯНИЕ ИНТЕНСИВНОСТИ ОБЛУЧЕНИЯ ЭЛЕКТРОНАМИ НА НАКОПЛЕНИЕ А-ЦЕНТРОВ В ОБЛАСТИ ПРОСТРАНСТВЕННОГО ЗАРЯДА В КРЕМНИИ

Бобрикова О. В., Герасименко Н. Н., Стась В. Ф.

В работах [1—4] установлено, что воздействие электрического поля напряженностью $E=10^4 \div 10^5 \text{ В/см}$ приводит к уменьшению эффективности введения таких радиационных дефектов (РД), как А-центры (комплекс вакансия—кислород) в кремнии. Данный эффект связывают с двумя основными механизмами: дрейфом и изменением зарядового состояния наиболее подвижных компонентов комплекса — вакансий в электрическом поле. В работе [3] сделана попытка выделить доминирующий механизм воздействия электрического поля на процессы радиационного дефектообразования. Предполагалось, что если основной причиной изменения концентрации РД является дефицит вакансий за счет их дрейфа в электрическом поле, то понижение температуры облучения замедлит дрейф (уменьшится подвижность вакансий) и эффективность введения РД будет стремиться к своему значению в нейтральном объеме полупроводника. Однако эксперимент [8] показал следующее. С понижением температуры облучения $T_{об.}$ происходило еще большее уменьшение эффективности введения РД в ОПЗ (область пространственного заряда) по сравнению с квазинейтральным объемом базы исследуемых $p^+—n$ -структур, причем не во всем диапазоне $T_{об.}=300 \div 78 \text{ К}$, а при $T_{об.}=180 \div 160 \text{ К}$. Такой ход температурной зависимости и интервал $180 \div 160 \text{ К}$ изменения эффективности введения РД не объяснялись дрейфом вакансий из ОПЗ. Поэтому авторы [3] пришли к выводу, что определяющим